

عملکرد هیدرودینامیکی پروانه‌های نیمه‌مغروف با استفاده از روش المان مرزی

حسن قاسمی (دانشیار)

دانشکده‌ی مهندسی کنترل سازی و صنایع دریایی، دانشگاه صنعتی امیرکبیر

ابوالفضل نظری (کارشناس ارشد)

مرکز تحقیقات شناوری، سازمان تحقیقات خودکفایی ندا

هرتضی قصابزاده (دانشجوی دکتری)

دانشکده‌ی مهندسی کنترل سازی و صنایع دریایی، دانشگاه صنعتی امیرکبیر

امروزه استفاده از پروانه‌های نیمه‌مغروف (SPP)^۱ برای شناورهای تندر، با توجه به بازدهی بالا و داشتن قابلیت مانور افزایش وزن‌افزونی یافته است. با توجه به نحوه عملکرد این نوع پروانه‌ها که هم در حالت دوفازی (آب و هوای) و هم در سرعت دورانی بالا کار می‌کند محاسبات و تحلیل عددی آن بسیار پیچیده است. آزمایش‌های انجام شده روی هندسه‌ی پروانه و شرایط فیزیکی آن نشان می‌دهد که پارامترهای هندسه‌ی نظری تعداد پره‌ها، گام، فرم پروفیل پره و شرایط کارکرد آن - نظری ارتقای غوطه‌وری، زاویه‌ی محور سرعت شناور و سرعت دورانی پروانه - تأثیر به سزایی بر عملکرد هیدرودینامیکی پروانه‌ی نیمه‌مغروف دارد. در این نوشتار، با استفاده از داده‌های حاصل از نتایج تجربی موجود^[۵-۱] نسبت به تعیین شرایط گذرا اقدام، و با کمک روش المان مرزی به محاسبات و تحلیل هیدرودینامیکی این نوع پروانه پرداخته شده است. این نتایج تجربی به عنوان شرایط مرزی مهم در حل به روش المان مرزی اعمال شده است. در روش حاضر دو نوع پروانه‌ی نیمه‌مغروف نوع اول (SPP ۱۰۱) و پروانه‌ی نیمه‌مغروف نوع دوم (SPP ۱۰۲) برای محاسبات در نظر گرفته شده است؛ همچنین نتایج حاصله - شامل ضرایب تراست، گشتاور و راندمان - در مقایسه با نتایج تجربی دیگران نشان می‌دهد که روش المان مرزی با شرایط مرزی تعریف شده مطلوب و رضایت‌بخش است و می‌تواند برای تحلیل این نوع پروانه‌ها مرجع مناسبی باشد.

gasemi@aut.ac.ir
a_nazari1400@yahoo.com
ghassabzadeh@aut.ac.ir

واژگان کلیدی: پروانه‌های نیمه‌مغروف، روش المان مرزی، عملکرد هیدرودینامیکی.

مقدمه

است. در این آزمایشات اثرات پارامترهای مختلف (نظریگام پروانه، فرم پروفیل پره، زاویه‌ی شیب محوری پروانه، عمق غوطه‌وری پروانه و عدد کاویتاسیون) مورد بررسی قرار گرفت.^[۲] نتایج این آزمایش‌ها نشان می‌دهد که پارامترهای زیادی بر عملکرد هیدرودینامیکی پروانه‌ی نیمه‌مغروف تأثیرگذار است. تیم تحقیقاتی مذکور ضمن بیان اثرات هریک از این پارامترهای مهم در پروانه‌ی نیمه‌مغروف، توانسته رابطه‌ی مناسبی برای تعیین نقطه‌ی گذرا به دست آورد که می‌تواند نقش کمکی خوبی در روش‌های عددی داشته باشد.^[۳]

به عملکار کردن پروانه‌های نیمه‌مغروف در دو سیال آب و هوایی هریک خاصیتی متفاوت دارند، به کارگیری روش‌های عددی به منظور تحلیل و طراحی، با پیچیدگی در ساخت مدل ریاضی همراه است. این در حالی است که پره‌های پروانه‌های مرسوم همگی مغروف بوده و در یک سیال با ویژگی‌های همگن قرار دارند و مدل کردن آنها ساده‌تر است. علی‌رغم وجود مشکلات زیاد درخصوص این نوع پروانه‌ها، طراحان سرگرم طراحی پروانه‌های سوپرکاویتاسیون در حالت آب آزاد بوده و در این خصوص

پروانه‌های نیمه‌مغروف نوع ویژه‌ی از پروانه‌های سوپرکاویتاسیون هستند که در شرایط دوفازی (آب و هوای) عمل می‌کنند. از مزایای این پروانه‌ها می‌توان بازدهی بالا، قدرت مانور مناسب و کاهش درگ شناور و در تیجه‌ی صرفه‌جویی در مصرف سوخت را نام برد. عملکرد پروانه بدين صورت است که تقریباً نیمی از پروانه در داخل آب است و در یک سیکل دورانی، هر پره یکبار به سطح آب برخورد می‌کند و پاشش ایجاد می‌شود. برخورد پره به آب باعث فشار و ضربه به روی سطح پره می‌شود که باید از نظر استحکام سازه‌ی مورد بررسی قرار گیرد. امروزه با توجه به کاربرد گسترده‌ی این نوع پروانه‌ها در محدوده‌ی وسیعی از شناورهای تفریحی و نظامی، دانشمندان سرگرم انجام تحقیقات و مطالعات تجربی و عددی درخصوص این نوع پروانه‌ها هستند. طی سال‌های اخیر، مطالعات زیادی درخصوص اثرات عملکرد هیدرودینامیکی پروانه‌های نیمه‌مغروف با استفاده از کارهای تجربی انجام شده^[۱۰-۱] به عمل آمده

دوم پارامترهای فیزیکی هستند که بیان آنها چنین است:^[۲]

$$K_t \text{ or } K_q = f(\underbrace{Z, P/D, EAR, f, t, \theta_s, \gamma}_{\text{Geometrical}}, \underbrace{I_T, \psi, J, F_n, R_n, \sigma, W_n}_{\text{Physical}}) \quad (1)$$

که در آن:

Z : تعداد پره؛

P/D : نسبت گام به قطر؛

EAR : نسبت سطح گسترش یافته؛

f : کمیر پره؛

t : ضخامت پره؛

θ_s : زاویه اسکیو؛

γ : زاویه ریک؛

I_T : ضریب غوطه‌وری؛

ψ : شب محوری شافت؛

J : نسبت سرعت پیشروی؛^۳

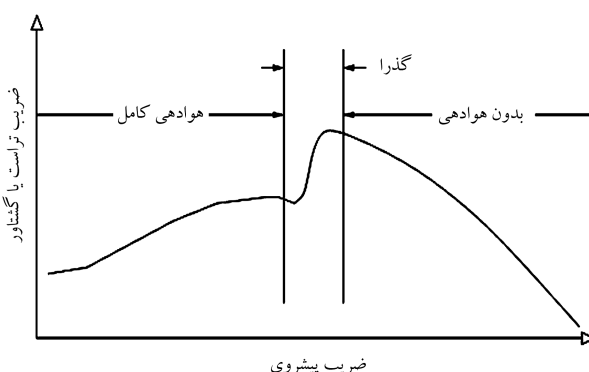
F_n : عدد فرود؛

R_n : عدد رینولدز؛

σ : عدد کاویتاسیون؛

W_n : عدد ورن.

در شکل ۱، چنان که تغییرات ضریب تراست و گشتاور پروانه (K_t, K_q, η) بر حسب نسبت سرعت پیشروی ($J = V_A/nD$) نشان می‌دهند. قطر (D) نشان می‌دهند سرعت دورانی و V_A سرعت ورودی سیال به پروانه است) وقتی پروانه شروع به کار می‌کند تراست تولید می‌کند و باعث حرکت گشتاور پروانه می‌شود. در لحظه شروع حرکت، شرایط عملکردی پروانه شرایطی سنتگین است و بار زیادی روی پره‌ها وارد می‌شود که موجب بروز پدیده‌ی کاویتاسیون لایه‌ی بی می‌شود. چون پروانه در نزدیکی سطح آب آزاد قرار دارد، به جای کاویتاسیون با پدیده‌ی هواهی^۴ مواجه خواهیم بود. بعد از این مرحله، اگر گشتاور بتواند به مرحله‌ی اسکی^۵ برسد سرعت گشتاور زیاد می‌شود و پروانه از شرایط گذرا عبور می‌کند. با افزایش سرعت گشتاور مقدار J ، زیاد و پروانه در شرایط سبک کار می‌کند و بارگیری تری به پره‌ها وارد می‌شود. درنتیجه مقدار هوای موجود در سطح پره کاهش می‌یابد، به طوری که دو طرف سطح پره تقریباً به طور کامل



شکل ۱. روند تغییرات ضریب تراست یا گشتاور پروانه نیمه مغروق در سه منطقه (هوادهی کامل، گذرا و هوادهی جزیی).^[۱]

نتایج آزمایشات را با پروانه‌های مرسوم مقایسه می‌کنند. همچنین پارامترهای یکسان، نظر نسبت گام این دو نوع پروانه، را مورد مقایسه قرار می‌دهند. علاوه بر این، پروانه‌های نیمه‌مغروق سبب کاهش قابل توجه مقاومت ملحقات گشتاور می‌شوند. این کاهش مقاومت ضمائم (ملحقات) در شناورهای تندرو قابل توجه است و برای این نوع شناورها حدوداً ۱۰٪ یا بیشتر از کل مقاومت ضمائم شناور است. بنابراین قدرت مورد نیاز برای رانش شناورهایی با این نوع پروانه نسبت به شناورهای دارای پروانه‌های معمولی، کاهش قابل توجهی دارد.

از میان محققانی که با استفاده از روش عددی بر روی پروانه‌ی نیمه‌مغروق کار کرده‌اند^[۱۱-۱۳] برخی در تزدکتری خویش تحلیل عددی پروانه‌های سوپرکاویتاسیونی و نیمه‌مغروق را مورد تحلیل و بررسی قرار داده و نتایج مناسبی از توزیع فشار و ضرایب هیدرودینامیکی به دست آورده‌اند.^[۱۱] در روسیه نیز تحقیقات گسترده‌یی در مورد پروانه‌های نیمه‌مغروق انجام شده است؛ از آن جمله، در سال ۲۰۰۷ برای یک پروانه‌ی نیمه‌مغروق ۵ پره تتابع عددی و تجربی ارائه کرده‌اند.^[۱۲] طی دو سال گذشته نیز با استفاده از روش المان مرسی، تحقیقات گسترده‌یی در مورد تحلیل و محاسبات هیدرودینامیکی پروانه‌ی نیمه‌مغروق توسط محققین داخلی انجام گرفته است.^[۱۳]

چنان که بیان شد، پارامترهای زیادی در پروانه‌های نیمه‌مغروق مورد توجه است. این پارامترها عبارت‌اند از: قطر، نسبت گام، مقطع و شکل پره، زاویه یا شب محور ارتفاع غوطه‌وری، اثر سطح آزاد و کشنش نیمه‌مغروق، عدد فرود و عدد رینولدز. نکته‌ی قابل توجه درخصوص این نوع پروانه‌ها، عبور هوا از روی پره‌های پروانه و جلوگیری از پدیده‌ی کاویتاسیون است. از آنجا که زاویه‌ی محور و نسبت مغروق بودن پروانه در عقب گشتاور تأثیر مهمی در عملکرد آنها دارد، نصب این پروانه‌ها از اهمیت و حساسیت خاصی برخوردار است. در حالت بهینه حدود ۴۰ درصد قطر پروانه در آب قرار دارد.

در این نوشتار، محاسبات و تحلیل‌های انجام‌شده با استفاده از روش عددی المان مرسی و نیز به کارگیری شرایط مرزی خاص برای پروانه‌های نیمه‌مغروق شناورهای تندرو صورت گرفته است. شرایط مرزی خاص از روش تجزیی برای المان مرسی نقش کمکی و تعیین‌کننده‌یی برای اعمال شرایط مرزی سینماتیکی و دینامیکی داشته باشد. در مدل سه‌بعدی پروانه به المان‌های چهارگره‌ی تقسیم می‌شود، و معادله‌ی انتگرالی گرین در هر المان اعمال، و ضرایب مؤثر ماتریسی محاسبه و به فرم دستگاه معادلات دارآورده می‌شود. بعد از حل دستگاه معادلات کمیت مورد نظر، یعنی پتانسیل، در هر المان محاسبه می‌شود. سپس با مشتق‌گیری از پتانسیل، پارامترهای سرعت و فشار و درنتیجه نیروها و گشتاور هیدرودینامیکی پروانه محاسبه می‌شود. در این نوشتار دو پروانه‌ی نیمه‌مغروق SPP۱۰۱ و SPP۱۰۲ با مشخصات داده شده مورد بررسی و محاسبه قرار گرفته‌اند.

نتایج تحلیل پروانه‌ی اولی SPP-۱ با نتایج تجربی مقایسه شد و پس از تأیید و راستی‌سنجی روش، عملکرد هیدرودینامیکی پروانه‌ی دومی SPP-۲ در شرایط مختلف نیز مورد بررسی و تحلیل قرار گرفت.

تعیین شرایط گذرا

به طور کلی، پارامترهای مؤثر در ضرایب هیدرودینامیکی K_t و K_q پروانه‌های نیمه‌مغروق به دو دسته تقسیم می‌شوند. دسته‌ی اول پارامترهای هندسی و دسته‌ی

مختصات دست راست $xyz - O$ را کامل می‌کند. مختصات نقطه روی سطح پره k در طرف عقب و جلو چنین بیان می‌شود:

$$\begin{aligned} x_{B,F} &= r \tan \gamma + (S(r) + L(r)) \sin \beta_r - Y_{B,F} \cos \beta_r \\ y_{B,F} &= r \cos(\eta_{B,F} + \theta_k) \\ z_{B,F} &= r \sin(\eta_{B,F} + \theta_k) \end{aligned} \quad (4)$$

که در آن:

$$\begin{aligned} \eta_{B,F} &= [(S(r) + L(r)) \cos \beta_r + Y_{B,F} \sin \beta_r] / r \\ \theta_k &= 2\pi(k - 1)/Z \quad k = 1, 2, \dots, Z \\ \beta_r &= \tan^{-1}\left(\frac{P_G}{2\pi r}\right) \end{aligned} \quad (5)$$

: زاویه شاخص پره؛

: مختصاتشعاعی پروانه؛

: زاویه گام هندسی؛

: P_G گام هندسی پروانه؛

: فاصله خط مولد تا لبه جلویی پره؛

: فاصله لبه جلویی تا مختصات کورد؛

: مختصات عقب و جلو از خط اصلی.

نسبت ضریب پیشروی (J_ψ) برحسب زاویه محور پروانه یکی از پارامترهای بسیار مهم در طراحی پروانه‌های نیمه‌مغروف است که مقدار آن برحسب تغییر زاویه محور ψ تغییر می‌یابد و مقدار آن از فرمول ۶ محاسبه می‌شود:

$$J_\psi = \frac{V_A \cos \psi}{nD} \quad (6)$$

۲. روش المان مرزی و معادله حاکم

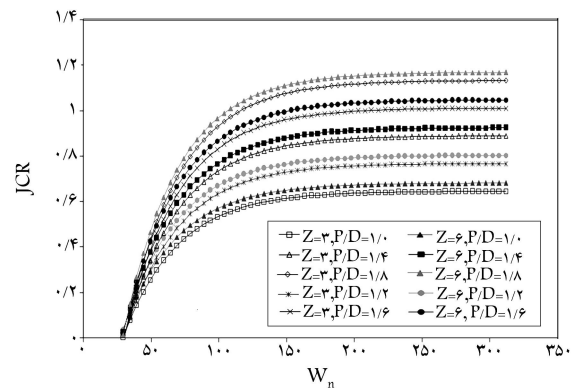
این روش مبتنی برتابع گرین است؛ تابع گرین برای یک معادله دیفرانسیل جزوی $\nabla^T G = \delta(r)$ در سه بعدی برابر $(4\pi\tilde{r})^{-1}(p;q)$ است. تابع دلتا $\delta(r)$ با فرض وجود چشممه در نقطه q و چگالی جریان در نقطه p است ($\tilde{r} = \vec{q} - \vec{p}$). تابع پتانسیل جریان (P) برای هر نقطه روی سطح $S(t)$ با استفاده از جواب عمومی معادله لaplas براساس تابع گرین بیان می‌شود:

$$\begin{aligned} 2\pi\phi_P(t) &= \\ &\int_{S(t)} \left\{ \phi_q(t) \frac{\partial}{\partial n_q(t)} \left(\frac{1}{R(p;q)} \right) \frac{\partial \phi_q(t)}{\partial n_q(t)} \left(\frac{1}{R(p;q)} \right) \right\} dS \end{aligned} \quad (7)$$

که در آن $S(t) = S_B(t) \cup S_C(t) \cup S_F(t)$ است. سطح خیس شده پروانه و $S_C(t)$ سطح هوادهی پروانه و $S_F(t)$ سطح آزاد آب است (شکل ۴) در جریان (کمیت نرمال واحد بر روی سطح انتگرال است که با جهت مثبت به داخل سیال است. در اینجا به شرایط مرزی می‌پردازیم.

الف) شرط مرزی سینماتیکی: این شرط مرزی بیان می‌کند که سرعت کل عمود بر سطح جسم $S_B(t)$ باید صفر باشد یعنی داریم:

$$\frac{\partial \Phi}{\partial n} = \frac{\partial(\phi + \vec{V}_{in} \cdot \vec{X})}{\partial n} = 0 \Rightarrow \frac{\partial \phi}{\partial n} = -\vec{V}_{in} \cdot \vec{n} \quad (8)$$



شکل ۲. اثر عدد وبر (W_n) و نسبت گام (P/D) و تعداد پره بر نسبت سرعت پیشروی بحرانی.

خیس است. در این منطقه هوادهی جزوی خواهیم داشت؛ لذا این منطقه همانند شرایط پروانه مغروف است.^[1]

شرایط گذرا تحت تأثیر عدد وبر و نسبت گام است. با افزایش عدد وبر (W_n) تأثیر آن بر سرعت پیشروی بحرانی (J_{CR}) کاهش می‌یابد. می‌توان عدد وبر یا فاصله خط مولد تا لبه جلویی پره ($S(r)$) را تغییر داد. می‌توان عدد وبر مقدار مجانب (J_{CR}) نیز بستگی به نسبت گام دارد. در شکل ۲ اثر عدد وبر و نسبت گام و تعداد پره‌ها بر سرعت پیشروی نشان داده شده است. در کار تحقیقاتی حاضر، با استفاده از نتایج تجربی موجود، رابطه ۲ برای پروانه‌های نیمه‌مغروف و به منظور تعیین نسبت سرعت بحرانی به دست آمده است:

$$J_{CR} = \frac{P}{D} (K_1 + K_2 e^{K_3 W_n} + K_4 Z), \quad (2)$$

که در آن عدد وبر از رابطه ۳ به دست می‌آید:

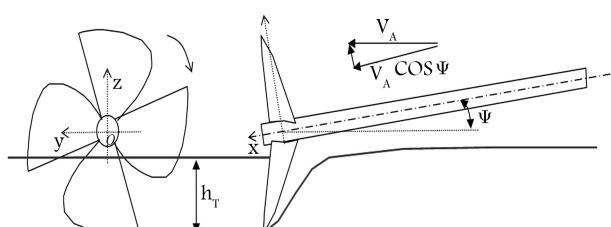
$$W_n = \sqrt{\frac{n^4 D^4 h_T}{\kappa}} \quad (3)$$

که در آن k مویینگی^۵ سینماتیکی سیال آب است.

فرمول‌های ریاضی

۱. هندسه پروانه

در شکل ۳ سیستم مختصات پروانه نیمه‌مغروف نشان داده شده است. پروانه در جهت عقربه ساعت و با سرعت ثابت (ω) در جریان غیررسکون، غیرقابل تراکم و غیرجرخشی عمل می‌کند. سیستم مختصات دکارتی xyz با مبدأ O در مرکز پره ثابت می‌شود، محور x منطبق بر محور پروانه و جهت آن به سمت پایین دست در نظر گرفته می‌شود. محور z در جهت بالا مثبت است و محور y سیستم



شکل ۳. سیستم مختصات شافت و پروانه.

جدول ۱. ابعاد اصلی پروانه‌ی نیمه‌مغروف.

پارامتر	نوع پروانه	SSP-۱۰۱	SPP-۱۰۲
قطر (متر)	۰,۲۰	۰,۶۲	
نسبت شعاع توبی به شعاع پروانه (r_h/R)	۰,۲	۰,۲	
تعداد پره‌ها (Z)	۳	۵	
نسبت سطح گسترش یافته (AE/A0)	۰,۵۰	۰,۷	
نسبت گام (P/D)	۱/۶	Various	
زاویه اسکیو (درجه)	۰	۳۰,۰	
زاویه ریک (درجه)	۱۰,۰	۱۰,۰	
نوع مقطع پره	SC	Modified SC	

ITTC محاسبه می‌شود.^[۸] بعد از مشتق‌گیری پتانسیل سرعت و استفاده از معادله‌ی برنولی، فشار واردہ بر سطح پره به صورت رابطه‌ی ۱۲ بیان می‌شود:

$$p = ۰,۵\rho (۲\nabla\phi_{in} \cdot \nabla\phi - \nabla\phi \cdot \nabla\phi) \quad (12)$$

نیروی تراست و گشتاور کل نیز از رابطه‌ی ۱۳ به دست می‌آید:

$$T = \int_S p n_x ds + T_F,$$

$$Q = \int_S p (n_y z - n_z y) ds + Q_F, \quad (13)$$

که در آن T_F و Q_F به ترتیب تراست و گشتاور ناشی از گرانروی سیال آب هستند. ضرایب هیدرودینامیکی پروانه (K_t, K_q, η) چنین تعریف می‌شوند:

$$K_t = \frac{T}{\rho n^4 D^4}, \quad K_q = \frac{Q}{\rho n^4 D^5}, \quad \eta = \frac{K_t}{K_q} \frac{J}{2\pi}. \quad (14)$$

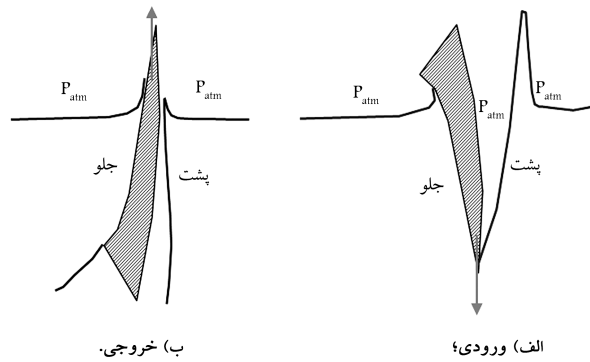
نتایج محاسبات

به منظور معتبرسازی نتایج عددی، دو پروانه در این محاسبات در نظر گرفته شده است. پروانه‌ی اول ۳ پره‌ی (SPP-۱۰۱) و پروانه‌ی دوم ۵ پره‌ی (SPP-۱۰۲) است.

پروانه‌ی SPP-۱۰۱ در زبان آزمایش شده است.^[۹] ابعاد اصلی پروانه مذکور در جدول ۱ داده شده است.

۱. محاسبات برای پروانه ۳ پره‌ی (SPP-۱۰۱)

قطر این پروانه ۰,۲۰ متر، بدون اسکیو و زاویه ریک ۱۰ درجه است. شکل ۶ المان‌بندی پروانه‌ی ۳ پره‌ی را نشان می‌دهد. هر پره به تعداد ۴۲۲ المان تقسیم شده، که تعداد کل المان‌های پروانه با هاب (Hub) برابر ۲۲۰۰ المان است. شکل ۷ پروفیل و مقطع پره در شعاع‌های مختلف را نشان می‌دهد. ضریب بی بعد فشار و ضرایب هیدرودینامیکی یک پره در مراحل مختلف یک چرخه‌ی دوران به ترتیب در شکل‌های ۸ و ۹ نشان داده شده‌اند. ضرایب هیدرودینامیکی این پروانه در دو شرایط سطحی و عمیقی با نسبت گام به قطر برابر ۱/۶ در مقایسه با نتایج تجربی



شکل ۴. شرایط جریان در لحظه‌ی ورود و خروج پره از سطح آب.

که در آن \vec{n} بردار یکه‌ی عمود بر سطح و \vec{V}_{in} سرعت جریان ورودی به پروانه است. سرعت جریان ورودی از رابطه‌ی ۹ به دست می‌آید:

$$\vec{V}_{in} = \vec{V}_A + \vec{\omega} \times \vec{r} \quad (9)$$

\vec{V}_A سرعت پیش روی و $(= 2\pi n)$ سرعت زاویه‌یی پروانه است.

ب) شرط دینامیکی: اگر در نقطه‌یی از سطح پره افت فشار داشته باشیم و این فشار کم‌تر از فشار بخار اشیاع شود، کاویتاسیون اتفاق می‌افتد. حال اگر این افت فشار در نزدیکی سطح باشد به جای کاویتاسیون هواده‌یی صورت می‌گیرد که در شرایط هواده‌یی کامل، فشار در پشت پره برابر فشار اتمسفر است (شکل ۵) لذا خواهیم داشت:

$$At \text{ ventilate surface : } p = p_{Atm} \quad (10)$$

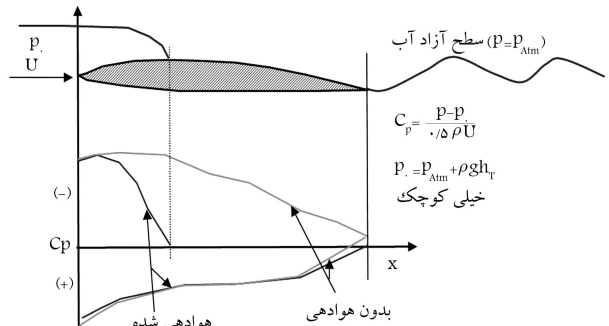
ج) شرط مرزی کاتا: این شرط بیان می‌کند که فشار در دو لبه‌ی انتهایی (سطح جلویی و عقبی پره) یکسان است.

$$\Delta C_P|_{TE} = ۰ \Rightarrow C_P^B|_{TE} - C_P^F|_{TE} = ۰ \quad (11)$$

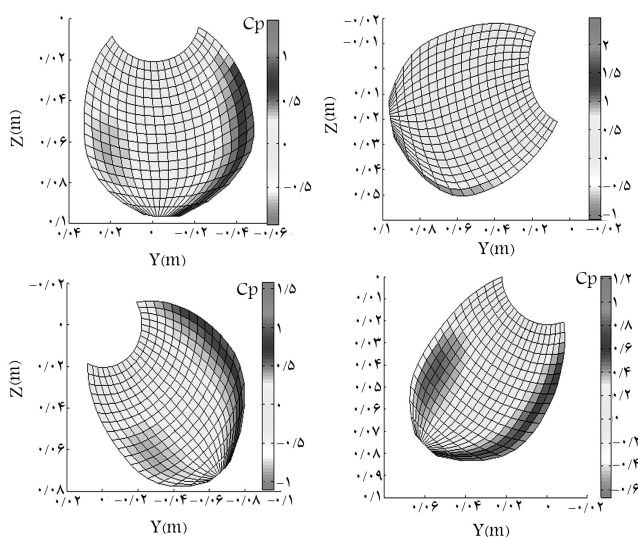
که در آن اندیس‌های F و B به ترتیب معادل Face و Back است.

۳. نیروهای هیدرودینامیکی

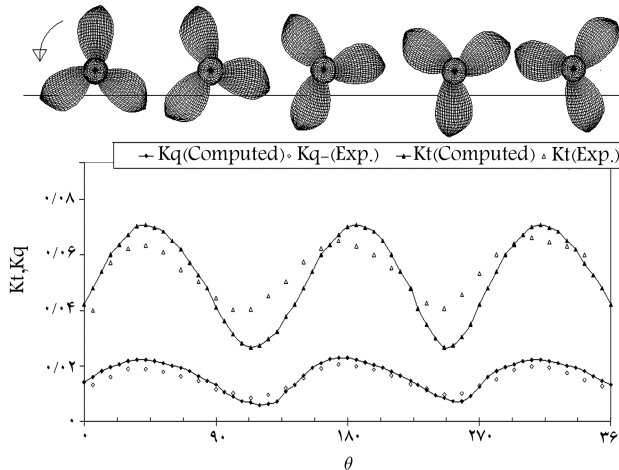
نیروهای تراست و گشتاور با استفاده از نیروهای فشاری و برشی واردہ بر سطح محاسبه می‌شوند. مؤلفه‌ی فشاری از روش المان مرزی یعنی با مشتق‌گیری از رابطه‌ی پتانسیل (معادله‌ی ۷) به دست می‌آید. اما مؤلفه‌ی نیروی اصطکاکی از روش تجری



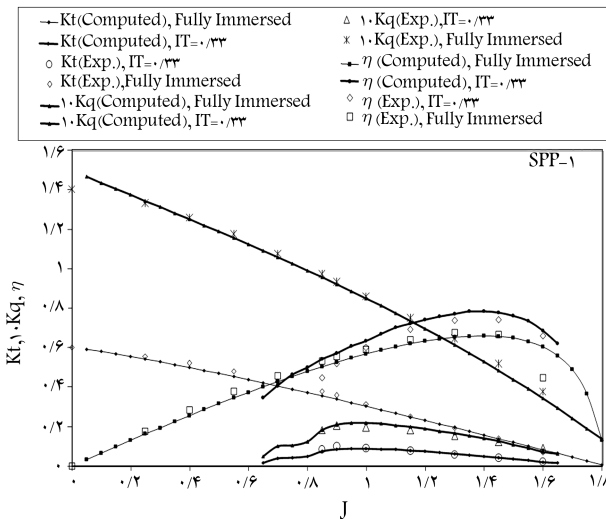
شکل ۵. شرایط هواده‌ی در فویل و توزیع فشار در منطقه‌ی هواده و بدون هواده.



شکل ۸. توزیع فشار روی سطح پره در چهار حالت از لحظه‌ی غوطه وری تا بیرون آمدن از سطح آزاد آب پروانه ۱ پروانه $SPP\ 10\ 1$, $J=1/2$, $P/D=1/6$.



شکل ۹. عملکرد هیدرودینامیکی یک پره در یک سیکل دوران از پروانه نیمه‌مغروف SPP 10 1.

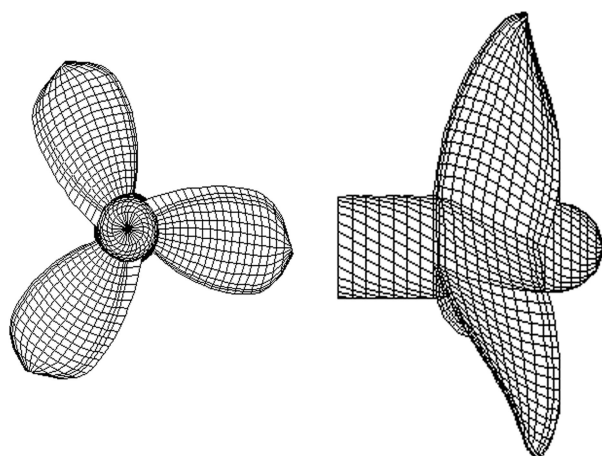


شکل ۱۰. مقایسه ضرایب هیدرودینامیکی تحلیلی و تجربی در دو شرایط نیمه‌مغروف و مغروف SPP 10 1.

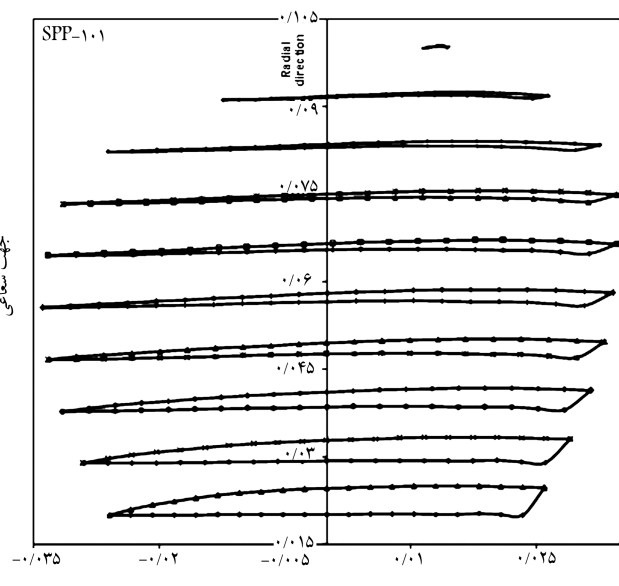
در شکل ۱۰ نیز نشان شده است. این نتایج محاسبه شده نشان می‌دهد که با نتایج تجربی مطابقت دارد. کارایی پروانه در شرایط نیمه‌مغروف بیشتر از شرایط مغروف است. منطقه‌ی گذرا در این منحنی $J_{CR} = 0.84$ را نشان می‌دهد. در منطقه‌ی هواده‌ی کامل (یعنی $J < 0.84$) ضرایب هیدرودینامیکی کاهش می‌یابند. مقایسه نتایج محاسبه شده با نتایج تجربی نشان می‌دهد که محاسبات رضایت‌بخش است.

۲. محاسبات برای پروانه‌ی ۵ پره‌ی (SPP 10 2)

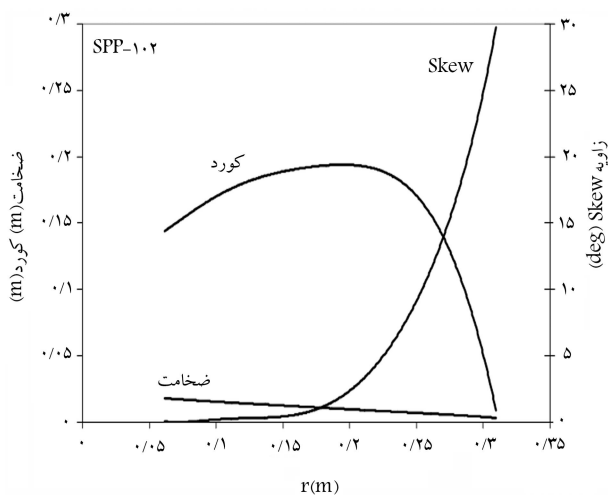
قطار این پروانه 62 cm , زاویه‌ی اسکیو 30° درجه، و زاویه‌ی ریک 10° درجه است. در شکل ۱۱ پروفیل و مقطع پره از ریشه تا نوک نشان داده شده است. همچنین المان بندی پروانه در شکل ۱۲ مشخص است. تغییرات طول کورد، اسکیو، نسبت گام و ضخامت بر حسب شعاع در شکل ۱۲ نشان داده شده است. مشخصات هیدرودینامیکی پروانه در دو شرایط غوطه‌وری کامل و در شرایط نیمه‌غوطه‌وری در شکل ۱۳ آورده شده است. منطقه‌ی گذرا در این منحنی $I_T = h_T/D = 0.4$



شکل ۶. المان بندی پروانه‌ی ۳ پره‌ی ۱ SPP 10 1.



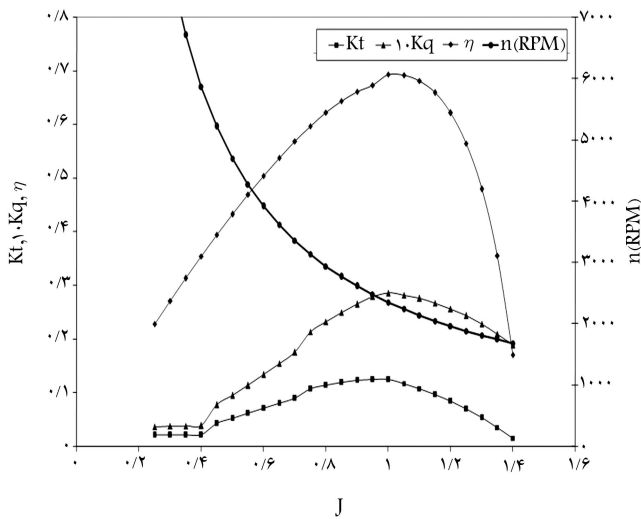
شکل ۷. پروفیل و مقطع پره پروانه‌ی نیمه‌مغروف ۱ SPP 10 1.



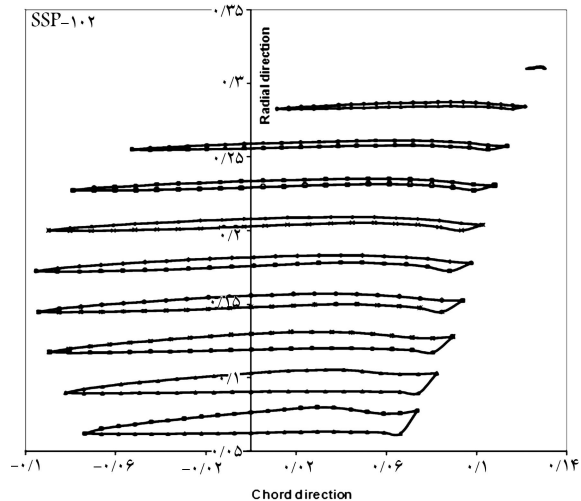
شکل ۱۳. تغییرات طول کورد، اسکیو، نسبت گام و ضخامت بر حسب شعاع پروانه SPP ۱۰۲

$J_{CR} = 8^\circ$ را نشان می‌دهد. در منطقه‌ی هواهی کامل (یعنی $< 8^\circ < 180^\circ$) ضرایب هیدرودینامیکی کاهش می‌یابد. اگرچه کارایی در شرایط نیمه‌غوطه‌وری کامل نسبت به غوطه‌وری ۲٪ کاهش می‌یابد، گشتاور ۵٪ کم تر شده و این باعث می‌شود که به موتور با قدرت کم تری نیاز داشته باشیم. از طرفی تراست لازم برای غلبه بر مقاومت در سرعت طراحی ۶۰ گرده دریابی در شرایط نیمه‌غوطه‌وری کافی است. علاوه بر این شبی محوری شافت نیز کاهش می‌یابد. همچنین عملکرد هیدرودینامیکی آن در $P/D = 1,60$ و تغییرات سرعت دورانی در شکل ۱۴ نشان داده شده است. نقطه‌ی گذرا در این حالت تقریباً برابر $J_{CR} = 1^\circ$ است. سرعت طراحی تقریباً در منطقه‌ی هواهی کامل ۳۰۰۰ یعنی سرعت دورانی برابر ۳۰۰۰ است.

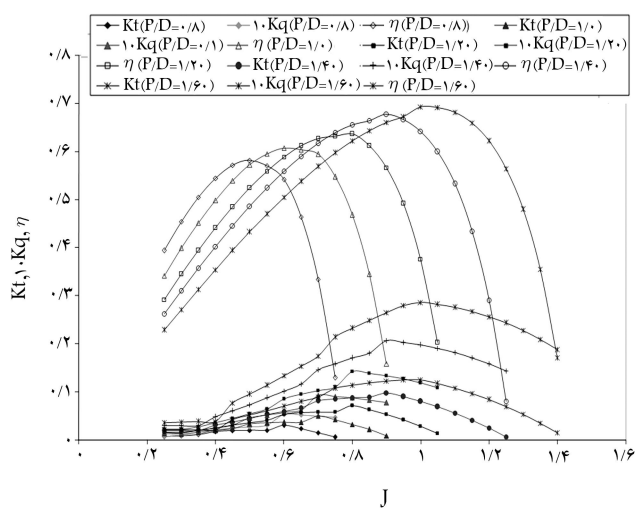
شکل ۱۵ ضرایب هیدرودینامیکی پروانه‌ی نیمه‌مغروف در گام‌های (P/D) مختلف را نشان می‌دهد. با افزایش نسبت گام هر سه پارامتر یعنی (K_t , K_q , η) بر حسب نسبت سرعت پیش روی (J) نیز افزایش می‌یابد. در این محاسبات زاویه‌ی شبی محوری ۶ درجه و نسبت ارتفاع غوطه‌وری برابر $I_T = 40^\circ$ در نظر گرفته شده است.



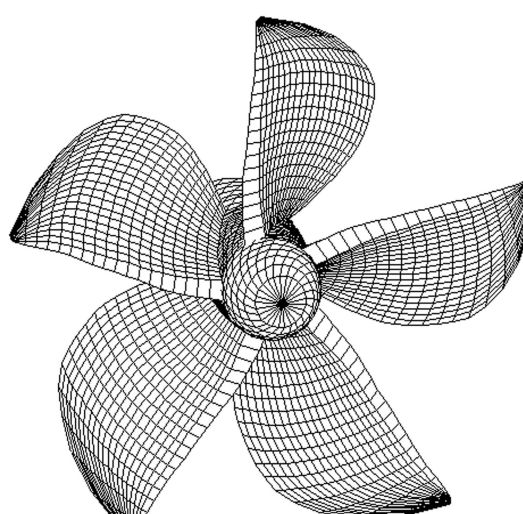
شکل ۱۴. ضرایب هیدرودینامیکی پروانه‌ی نیمه‌مغروف SPP ۱۰۲ در $P/D = 1,60$ و تغییرات سرعت دورانی.



شکل ۱۱. بروفیل و مقطع بره پروانه نیمه‌مغروف SPP ۱۰۲



شکل ۱۵. ضرایب هیدرودینامیکی پروانه‌ی نیمه‌مغروف SPP ۱۰۲ در P/D های مختلف.



شکل ۱۲. المان‌بندی پروانه ۵ پره‌ی SPP ۱۰۲

نتیجه‌گیری

در این نوشتار بررسی و محاسبه‌ی ضرایب هیدرودینامیکی پروانه نیمه‌مغروق با استفاده از روش المان مرزی و با در نظر گرفتن شرایط مرزی خاص انجام شده است. از محاسبات به دست آمده نتایج ذیل حاصل شده است:

۲. با کاهش نسبت گام ضریب بحرانی کاهش و اثر سطح آزاد کمتر می‌شود، و از فاز هوادهی جزئی به فاز هوادهی کامل تغییر می‌یابد.
۳. ضرایب هیدرودینامیکی پروانه‌ی SPP ۱۰۱ با نتایج تجربی مقایسه شده است و نتایج محاسبات مطلوب و رضایت‌بخش است. بیشترین کارایی این پروانه در محدوده‌ی 7° است.
۴. نتایج محاسبات برای پروانه ۱۰۲ SPP در گام‌های مختلف نیز انجام شده است. کارایی این پروانه کمتر از پروانه‌ی ۳ پرهی است. به نظر می‌رسد علت آن زاویه‌ی اسکیو زیاد و تعداد پره‌های بیشتر است. بهر حال این نتایج نشان می‌دهد که تمایل و شباهت زیادی با عملکرد هیدرودینامیکی پروانه‌های نیمه‌مغروق دارد ولی بررسی بیشتر نیاز به آزمایش‌های واقعی دارد.

پابند

1. surface piercing propeller (SPP)
2. advance velocity ratio
3. ventilated
4. planing
5. capillarity
6. trailing edge (TE)

منابع

1. Ferrando, M. and Scamardella A. "Surface piercing propellers: testing methodologies, result analysis and comments on open water characteristics", Proc. Small Craft Marine Engineering Resistance & Propulsion Symposium, pp. 5-1, 5-27. Ypsilanti: University of Michigan, (1996).
2. Ferrando, M. "Surface piercing propellers: state of the art", *Oceanic Eng. International*, **1**(2), pp 40-49 (1997).
3. Ferrando, M., and Scamardella, A. "Surface piercing propellers: model tests procedures and comments on related a dimensional parameters", *Proceedings 5th Symposium on High Speed Marine Vehicles*, Capri 24-26 (March 1999).
4. Ferrando, M.; Viviani, M.; Crotti, S.; Cassella, P., and Caldarella, S. "Influence of weber number on surface piercing propellers model tests scaling", *Proceedings of 7th International Conference on Hydrodynamics* (ICHD2006), Ischia, (4-6 October 2006).
5. Ferrando, M.; Scamardella, A.; Bose, N.; Liu, P., and Veitch, B. "Performance of family of surface piercing propellers", Royal Institution for Naval Architects (RINA), Transactions 2002, Part A, 11p.
6. Rose, C.J.; Claus, F.L. Kruppa, and Kourosh Koushan. "Surface piercing propellers, propeller/hull interaction", FAST'93 (1993).
7. Kruppa, F.L.; Claus, Rose, and John, C. "Methodical series model test results", FAST'91.
8. Olofsson, N. "Force and flow characteristics of a partially submerged propeller doctoral thesis", Goteborg: Chalmers University of Technology – Department of Naval Architecture and Ocean Engineering (1996).
9. Nozawa, K., and Takayama, N. "Experimental study on propulsive performance of surface piercing propeller", *KSNAJ*, **218**, (2002).
10. Himei, K.; Yamasaki, S.; Yamasaki, M., and Kudo, T. "A study of practical supercavitating propeller", *The west-Japan society of naval architects*, **76** (2005).
11. Young, Y.L., and Kinnas, S.A. "Analysis of supercavitating and surface-piercing propeller flows via BEM", *Computational Mechanics*, **32**, pp. 269-280 (2003).
12. Alexander, V. Pustoshny; Valery Bointsov; Eduard P.Lebedev, and Anton A. Stroganov. "Development of 5-blade SPP series for fast speed boat", Ninth international Conference on Fast Sea, Shanghai (2007).
13. Ghassemi, H., and Ghiasi, M. "Hydrodynamic characteristics of the surface piercing propeller (SPP) by using special practical and numerical approach", *8th Int. conf. on hydrodynamics* (ICHD), France (2008).
14. Ghassemi, H. "Hydrodynamic characteristics of the surface-piercing propeller for the planing craft", *Journal of Marine Science and Application*, **8**(4) (2009).
۱۵. قاسمی، حسن؛ قصابزاده، مرتضی؛ نظری، ابوالفضل. «استفاده از روش المان مرزی برای تحلیل هیدرودینامیکی پروانه نیمه‌مغروق»، یازدهمین همایش صنایع دریایی (MIC ۲۰۰۹)، جزیره کیش، آبان ماه ۱۳۸۸ دریابی.